

川崎重工業(株) 正員 ○長井 正嗣
〃 〃 坂井 藤一

1. まえがき

先に著者らは薄肉直線箱析について、箱析の構造問題である1)、断面変形の問題、2)、せん断遻れの問題、3)、荷重分配の問題等を比較的簡便にかつより実橋に近い形で解析する有限要素法(ブロック有限要素法)¹⁾を提案した。そこでは、まず一般化座標法の助けをかりて断面変形、せん断変形を含む梁理論より若干高度な常微分方程式を導いた。次にこの解法として有限要素法を適用した。これは有限要素法の持つ境界条件、不連続構造等の取り扱いが得意であるという利点を利用したものである。

本論文は薄肉曲線箱析(張出し、リブ付一室断面に限って)について同様の手法を適用した報告を行ふものである。その際、曲線座標系における有限要素剛性マトリックス諸導に關する問題点(変位関数)についての考察も加えている。曲線箱析橋の断面変形の問題はダイアフラムの設計法と関連して重要な問題であるが、いま十分に解明されていない問題である。本報告はその意味でも意義のあるものと思われる。

2. 曲線箱析の基礎方程式

1) 仮定条件-図-1に示す断面形状を設定し、軸方向に△座標(変位をuとする。), 輪郭線方向にθ座標(フランジ部ではr, 腹板部ではπ座標)に応する。また、s方向変位をv_s, s方向と直角方向変位をv_θとする。)を設定する。ひずみを{ε_u, ε_{v_s}, ε_{v_θ}}, 応力を{σ_u, σ_{v_s}, τ_{uθ}}とする。ここで、本解法では、1) ε_{v_s}=0, 2) ΠΠソシル=0, 3) 膜理論の成立, 4) リブは無剛性の点を考える。を理論前提条件として設定する。こうすると、変位-ひずみの関係は、i) フランジ部で, ε_u=u'/r+v_s/r, σ_u=u'-u/r+v_s'/r. ii) 腹板部で, ε_u=u'/r+v_s/r, σ_u=u'+v_s'/rとなり、応力-ひずみの関係は, σ_u=Eε_u, τ_{uθ}=Gτ_{uθ}となる。ここで、(i), (ii)はそれぞれのsに關する一般化積分である。Eはヤング係数, Gはせん断弾性係数である。次に変位u, v_s, v_θを次のようないくつかの形で表示すると、u(a, s)= $\frac{1}{2} \int_a^{\infty} \phi^{(m)}(s) \cdot U_i(s) ds$, v_s(a, s)= $\frac{1}{2} \int_a^{\infty} \psi_t^{(m)}(s) \cdot V_j(s) ds$, v_θ(a, s)= $\frac{1}{2} \int_a^{\infty} \psi_m^{(m)}(s) \cdot V_j(s) ds$ 。ここで、φ^(m), ψ_t^(m), ψ_m^(m)は一般化座標で図-2に示すものである。また、U_i(s), V_j(s)は一般化変位である。

2) 仮想仕事の原理の適用-微小部分について仮想仕事の原理を適用すると以下の方程式を得る。

$$\oint \phi^{(m)} dF - \int_F T_{\theta} \tau_{\theta} (\phi^{(m)} - \phi^{(m)}/r) t r dr - \frac{3}{2} \int_W T_{\theta} \phi^{(m)} R_2 t dz + \oint P \phi^{(m)} r ds = 0 \quad m=1 \sim 8 \quad \dots 1)$$

$$\oint T_{\theta} \psi_t^{(m)} t ds - \int_F \tau_{\theta} \psi_t^{(m)} t dr - \int_W \sigma_u \psi_m^{(m)} t dz + \oint \sigma_u \psi_t^{(m)} r ds = 0 \quad m=1 \sim 4 \quad \dots 2)$$

ここで、φ^(m), ψ^(m)はそれぞれ全断面積、全局に關する積分、F_sds, Wdsはそれぞれフランジ部、腹板部における積分である。応力-ひずみ、変位-ひずみの関係式を1), 2)に代入して変位に関する微分方程式に書き直しマトリックスの形で表示すると以下のようになる。

$$E[A] \{u''\} - G[B] \cdot \{v_s'\} + (E[C] - G[\tilde{C}]) \cdot \{v_\theta'\} + \{f_p\} = \{f_o\} \quad \dots 3)$$

$$-(E[C]^T - G[\tilde{C}]^T) \cdot \{u''\} + G[D] \cdot \{v_\theta'\} - E[F] \cdot \{v_s'\} + \{f_g\} = \{f_o\} \quad \dots 4)$$

ここで、A_{ij}= $\oint (\phi^{(m)} \phi^{(i)}/r) dF$, B_{ij}= $\int_F (\phi^{(m)} - \phi^{(m)}/r) \cdot (\phi^{(i)} - \phi^{(i)}/r) t r dr + \int_W \phi^{(m)} \phi^{(i)} t r dz$, C_{ij}= $\int_F (\phi^{(m)} \cdot \psi_t^{(i)}/r) dF + \int_W (\phi^{(m)} \cdot \psi_m^{(i)}/r) dz$, \tilde{C}_{ij} = $\int_F (\phi^{(m)} - \phi^{(m)}/r) \psi_t^{(i)} t dr + \int_W \phi^{(m)} \psi_t^{(i)} t dz$, D_{ij}= $\oint (\psi_t^{(m)} \psi_t^{(i)}/r) t ds$, F_{ij}= $\int_F (\psi_t^{(m)} \cdot \psi_t^{(i)}/r) dF + \int_W (\psi_m^{(m)} \cdot \psi_m^{(i)}/r) dz$ である。

3. 有限要素法による解法

1) 変位関数に關する考察-衆知のとおり、有限要素法において要素の離分化に伴い正解に収束するために変位関数に課せられる条件は、i). すべての剛体モードを含むこと。ii). 一定ひずみを表す項がひずみ表示に含

まること、である。直交デカルト座標系では変位関数として定数項を含めて低次から変数を採用することにより上記 i), ii) の条件は自動的に満足される。ところが曲線座標系ではこの処理が簡単でないことが指摘されている。ここでは、絶面の都合上 4種類の変位関数について特に扇形板を対象として上記問題を検討した例について報告する。変位関数としては、i) 一次関数(剛体回転のみを考慮)、ii) 三次関数(節点ごとに変位の一階微分も未知数として考慮し、剛体回転のみを考慮)、iii) 三角関数(剛体移動のみを考慮)、iv) すべてこの剛体モードを含む。の 4種類である。図-3 に解析したモデル、図-4 ～ 7 に結果の一部を示す。詳細な考察は後述時に譲ることにして、結果的には橋軸方向に三次関数を変位関数として採用することにした。これは、剛体モードを厳密に考慮しなくとも実用上十分な精度が得られることが確認されたためであり、また iii) の場合では、変位仮定における変数分離形の採用ができないこともある。

2) ガラーキン法による定式化——いま、図-6 のような方向に角度 θ を有する有限要素 ($\theta_k < \alpha < \theta_{k+1}$) を考える。局部座標を β とし、形状関数を以下のように仮定する。

$$f\{u(\alpha)\} = f[L_1] \cdot u[U_k] + f[L_2] \cdot u[U_{k+1}] \quad \dots 5)$$

$$f\{v(\alpha)\} = f[M_1] \cdot v[U_k] + f[M_2] \cdot v[U_{k+1}] \quad \dots 6)$$

ここで、 $[L_1] = [w^{(1)} \cdots 0 \cdots w^{(3)} \cdots 0 \cdots w^{(4)}]$, $[L_2] = [w^{(1)} \cdots 0 \cdots w^{(2)} \cdots 0 \cdots w^{(3)}]$, $[M_1] = [w^{(1)} \cdots 0 \cdots w^{(2)} \cdots 0 \cdots w^{(3)}]$, $[M_2] = [w^{(1)} \cdots 0 \cdots w^{(2)} \cdots 0 \cdots w^{(4)}]$ である。また、 $w^{(1)} = 1 - 3(\beta/\theta)^2 + 2(\beta/\theta)^3$, $w^{(2)} = 3(\beta/\theta)^2 - 2(\beta/\theta)^3$, $w^{(3)} = \beta - 2\beta^2/\theta + \beta^3/\theta^2$, $w^{(4)} = -\beta^2/\theta + \beta^3/\theta^2 z$, $\{u_k\}, \{u_{k+1}\}$ は $k, k+1$ 端での変位および変位の一階微分のベクトルである。 $\{v_k\}, \{v_{k+1}\}$ につても同様である。式 3), 4) にガラーキン法を適用すると最終的に以下の式を得る。

$$\{\bar{P}_e\} = \int_0^\theta [E[A]\{u'\} w^{(1)} + G[B]\{u\} w^{(2)} + E[C]\{v\} w^{(3)} + G[C]\{v'\} w^{(4)}] d\alpha \quad l=1 \sim 4 \quad \dots 7)$$

$$\{Q_e\} = \int_0^\theta [G[C]\{u\} w^{(1)} + G[D]\{v'\} w^{(2)} + E[C]\{u'\} w^{(3)} + E[F]\{v\} w^{(4)}] d\alpha \quad l=1 \sim 4 \quad \dots 8)$$

式 7), 8) に 5), 6) を代入して積分を実施すれば、図-1 に示す箱桁の剛性方程式が得られる。

4 数値計算結果

絶面の都合上当日スライドにて発表させていたいたいた。

5まとめ

i) (上の手法より)、i) 板厚高さの変化する变断面橋、ii) 仕事の曲率半径(斜め支持を取り扱えない)および方向をもつ曲線箱桁橋についても簡単にかつ精度よく断面変形、せん断座れの解析ができることがわかった。

参考文献: 坂井・長井・佐野、"ブロック有限要素法による薄肉箱桁の立體解析" 土木学会論文報告集, 第 255 号, 1976 年 11 月

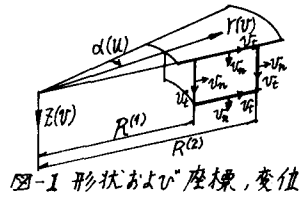


図-1 形状および座標、変位

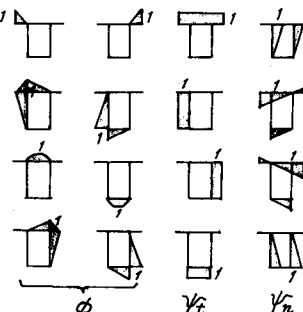


図-2 一般化座標

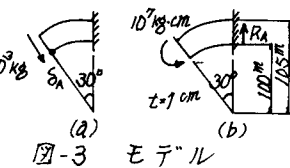


図-3 モデル

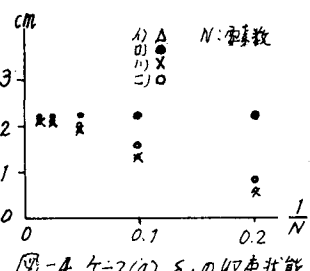


図-4 テ-2(a) P_A の収束状態

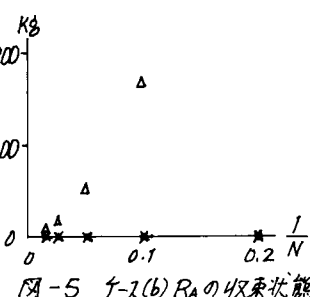


図-5 テ-2(b) P_A の収束状態

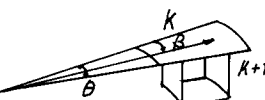


図-6 有限要素